

# 基于氧化铜/聚苯胺包覆光子晶体光纤的一氧化碳传感器

马诗章, 冯文林\*, 彭志清, 刘敏, 余佳浩

重庆理工大学理学院物理与能源系, 重庆 400054

**摘要** 提出了一种基于氧化铜/聚苯胺包覆光子晶体光纤的一氧化碳传感器。将标准单模光纤与实心光子晶体光纤熔接形成马赫-曾德尔干涉结构, 在光子晶体光纤表面涂覆氧化铜/聚苯胺复合材料, 用于检测一氧化碳(CO)。结果表明, 在光纤表面形成了一层厚度约为  $2 \mu\text{m}$  的均匀复合膜; 该传感器的灵敏度为 17 pm; 传感器在 CO 体积分数为  $0 \sim 75 \times 10^{-6}$  的范围内呈现良好的线性关系和选择性, 响应时间和恢复时间分别约为 80 s 和 110 s。该传感器具有成本低、结构简单、制作容易等优点。

**关键词** 光纤光学; 马赫-曾德尔干涉; 光子晶体光纤; 氧化铜/聚苯胺; 一氧化碳

**中图分类号** TN201    **文献标识码** A

**doi:** 10.3788/LOP56.050603

## Carbon Monoxide Gas Sensor Based on CuO/PANI Coated Photonic Crystal Fiber

Ma Shizhang, Feng Wenlin\*, Peng Zhiqing, Liu Min, Yu Jiahao

Department of Physics and Energy, School of Science, Chongqing University of Technology, Chongqing 400054, China

**Abstract** A carbon monoxide (CO) gas sensor based on copper oxide/polyaniline composite membrane-coated photonic crystal fiber is proposed. The Mach-Zehnder interference structure is formed by fusion splicing a standard single-mode fiber to a solid photonic crystal fiber. The copper oxide/polyaniline composite material is coated on the surface of the photonic crystal fiber, and then the purpose of detecting carbon monoxide can be achieved. The results show that a uniform layered film is formed on the surface of the fiber with a thickness of about  $2 \mu\text{m}$ . A high sensitivity of 17 pm and a good linear relationship are achieved in the range of CO volume fraction of  $0 \sim 75 \times 10^{-6}$ . The response time and recovery time are 80 s and 110 s, respectively. The sensor has an advantage of low cost, simple structure, and easy to manufacture.

**Key words** fiber optics; Mach-Zehnder interference; photonic crystal fiber; CuO/PANI; carbon monoxide

**OCIS codes** 060.2310; 060.2370; 260.3160; 060.5295; 000.1570

## 1 引言

一氧化碳(CO)是人类生活中最危险的有毒气体之一, 主要产生于燃料的不完全燃烧, 如家庭做饭、取暖, 以及汽车发动机运行等。CO 是一种剧毒和极度危险的气体, 但又无色无味, 因此, 研究 CO 传感器具有重要的意义。目前, 导电聚合物<sup>[1]</sup>在气

体传感方面被广泛研究, 与一般的金属氧化半导体材料比较, 导电聚合物易于合成、且可以在室温下工作。聚苯胺是一种最有前途应用于气体传感器的聚合物, 其制备方便、稳定性好、电阻率低, 利用氧化铜在电、磁、催化等方面的优势性能, 可将其复合至聚苯胺中以提高聚苯胺传感器对气体的敏感性。

光子晶体光纤的横截面具有周期性的微结

收稿日期: 2018-08-10; 修回日期: 2018-09-11; 录用日期: 2018-09-21

基金项目: 国家自然科学基金(51574054)、重庆市高校创新团队项目(CXTDX201601030)、重庆理工大学研究生创新重点项目(ycx2018104)、重庆市科技局民生与自然科学基金项目(cstc2017shmsA20017,cstc2018jcyjAX0294)

\* E-mail: wenlifeng@126.com

构<sup>[2]</sup>,其独特的结构性能使其具有用于传感领域的潜力。2008年,Choi等<sup>[3]</sup>采用光子晶体光纤和单模光纤,制备了法布里-珀罗干涉仪,并将这种干涉仪应用于温度传感领域。段德稳等<sup>[4]</sup>报道了一种用空芯光子晶体光纤制作的法布里-珀罗腔体,利用光纤熔接方法将该法布里-珀罗腔体和两根普通单模光纤熔接起来,构成微型光纤法布里-珀罗干涉应变传感器。2011年,Wong等<sup>[5]</sup>提出了一种基于光子晶体光纤的折射率传感器,采用标准单模与实心的光子晶体光纤进行熔接,形成马赫-曾德尔干涉结构,通过检测干涉光谱的移动来检测周围折射率的变化。2013年,Mathew等<sup>[6]</sup>报道了湿度传感器,在光子晶体光纤表面涂覆琼脂糖,当外界湿度改变时,琼脂糖的折射率将会发生改变,从而引起干涉光谱的移动。2013年,纪玉申等<sup>[7]</sup>在光子晶体光纤两端熔接单模光纤,再对光子晶体光纤进行拉锥处理,得到了马赫-曾德尔干涉结构,研究了其传输谱与外界折射率的响应关系。2015年,付兴虎等<sup>[8]</sup>利用这种结构制备了一种曲率传感器。2017年,Feng等<sup>[9-10]</sup>在光子晶体光纤两端采用拉锥的方式与单模光纤进行熔接,通过在光子晶体光纤表面涂覆石墨烯来检测硫化氢,之后通过在石墨烯涂层上沉积铜离子提高了传感器的灵敏度。

本文利用实心光子晶体光纤(PCF)和单模光纤(SMF)构建马赫-曾德尔干涉仪,通过在光子晶体光纤表面涂覆一层氧化铜/聚苯胺(CuO/PANI)复合敏感膜,使干涉仪对CO敏感,通过检测干涉波谷的移动来检测CO的浓度。该传感器具有成本低、结构简单、制作容易等优点。

## 2 基本原理

将一段PCF的两端分别与SMF进行熔接,在SMF与PCF熔接区域,PCF的空气孔会因为放电而塌陷,形成塌陷层。单模光纤中的光在经过塌陷层时,一部分光会被激发到光子晶体光纤的包层中,在经过另一个熔接点时,包层光与纤芯的光发生会聚,形成马赫-曾德尔干涉,其干涉光强为

$$I = I_{\text{cor}} + I_{\text{cla}} + 2\sqrt{I_{\text{cor}}I_{\text{cla}}} \cos \Delta\varphi, \quad (1)$$

式中 $I_{\text{cor}}$ 、 $I_{\text{cla}}$ 分别为PCF中传输的芯层光强与包层中的光强, $\Delta\varphi$ 为两束光的相位差,即

$$\Delta\varphi = \frac{2\pi\Delta n_{\text{eff}}L}{\lambda}, \quad (2)$$

式中 $\lambda$ 为传输光的波长, $L$ 为两个塌陷层之间的干涉长度, $\Delta n_{\text{eff}}$ 是光纤纤芯有效折射率 $n_{\text{eff}}^{\text{cor}}$ 和包层有

效折射率 $n_{\text{eff}}^{\text{cla}}$ 之间的差值,当包层模和纤芯模之间的差值等于 $(2m+1)\pi$ 时,芯层和包层中的光会发生干涉相消,即会产生干涉波谷。 $m$ 阶干涉波谷可表示为<sup>[11-12]</sup>

$$\lambda_m = \frac{2\Delta n_{\text{eff}}L}{2m+1}. \quad (3)$$

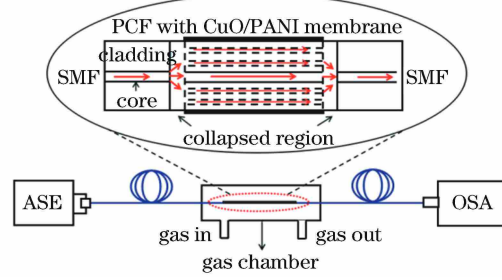


图1 实验装置示意图

Fig. 1 Schematic of experimental setup

图1为实验装置示意图,采用放大自发辐射(ASE)宽带光源(北京康冠世纪光电科技有限公司)和光谱分析仪(AQ6370D,横河,日本)。从实际操作和成本考虑,选用PCF长为5 cm,在PCF包层表面涂覆敏感膜。当PCF包层表面涂覆的复合膜吸附气体时,膜的折射率会发生改变,从而导致包层有效折射率改变,因纤芯的折射率不变,因此,随着包层有效折射率的改变, $m$ 阶干涉波谷将会发生改变<sup>[13]</sup>,且变化量可表示为

$$\Delta\lambda_m = \frac{2(\Delta n_{\text{eff}} + \Delta n)L}{2m+1} - \frac{2\Delta n_{\text{eff}}L}{2m+1} = \frac{2\Delta nL}{2m+1}. \quad (4)$$

由(4)式可知,当包层有效折射率变大时, $\Delta n_{\text{eff}} + \Delta n$ 减小,即 $\Delta n$ 为负,干涉波谷会发生蓝移,反之则发生红移。因此,可以通过光谱仪观察干涉波谷的移动,得到CO气体浓度和干涉波谷移动之间的关系。

## 3 实验

### 3.1 光纤的熔接

采用全内反射型单模PCF(长飞光纤光缆股份有限公司),其包层直径为 $(125 \pm 2) \mu\text{m}$ ,纤芯直径为 $(9.5 \pm 0.5) \mu\text{m}$ ,纤芯外有3层空气孔,呈正六边形结构排列,熔接机为光纤熔接机(S178C,古河,日本)。熔接程序所用的参数如下:首次放电开始强度为+90(放电强度是一个比值,无单位),首次放电结束强度为+90,再次放电开始强度为+0,再次放电结束强度为+0,清洁放电时间为+200 ms,预熔接时间为+160 ms,首次放电时间为+900 ms,再次放电时间为+0 ms。

图2为PCF与SMF的熔接图,左边为单模光纤,右边为光子晶体光纤。从图2可以看出,塌陷层的长度约为163.46 μm。空气孔的塌陷率<sup>[14-15]</sup>可以表示为

$$V_{\text{collapse}} = \frac{\gamma}{2\eta}, \quad (5)$$

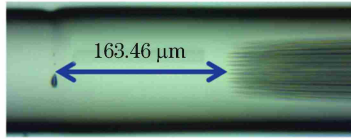


图2 光纤熔接图

Fig. 2 Diagram of fused optical fiber

式中 $\gamma$ 为光纤表面张力, $\eta$ 为黏度。在熔接过程中,硅的表面张力对温度不敏感,而黏度随着温度的增加下降,所以,空气孔的塌陷率会随着温度增加而增加。随着塌陷层的长度增加,激发至包层的光增加,干涉波谷的深度也会增加,由于光在包层中传播不满足全反射条件,所以插入损耗也会增加<sup>[16]</sup>。

### 3.2 CuO/PANI复合材料的制备

将0.205 g氧化铜超声分散于50 mL硫酸溶液(1 mol/L)中,超声30 min,之后加入1.56 mL苯胺,然后高速搅拌20 min,滴加25 mL过硫酸铵溶液(1 mol/L),在常温下搅拌反应6 h。反应后将溶液抽滤,并用去离子水洗涤至中性,之后在60 °C真空干燥箱中干燥12 h。最后将得到的CuO/PANI复合材料在玛瑙研钵中研磨1 h,获得所需的复合材料。

### 3.3 传感器的制作

取0.2 g CuO/PANI复合材料加入10 mL去

离子水中,搅拌30 min,使CuO/PANI复合材料分散均匀。用光纤剥线钳把PCF表面的涂覆层去掉,用酒精清洗干净,将长为7 cm的PCF放在干净的载玻片上,滴加溶液,浸涂5 min后取出,在室温条件下干燥之后,再放入60 °C真空干燥箱中进一步干燥6 h。将镀膜的PCF两端用光纤切割刀切平,此时PCF的长度为5 cm,再在两端分别与单模光纤进行熔接,从而获得传感元件。

## 4 结果与讨论

### 4.1 X射线光电子能谱分析

图3为CuO/PANI复合材料的元素全谱扫描X射线光电子能谱(XPS)图。由图3(a)可知,复合材料表面含有S、C、N、O和Cu五种元素,S 2p、C 1s、N 1s、O 1s、Cu 2p、C Auger所对应的位置分别为167.9、284、398.9、530.9、933、1221.6 eV。聚苯胺的主要成分为C、H和N,图3(b)为进行分峰处理过的C 1s高精度扫描图,由C—C、C—N/C=N、C—N+/C=N+、C=O/C—O键组成,其对应的结合能分别为283.5、284、284.8、285.72 eV。图3(c)为进行分峰处理过的N 1s高精度扫描图,由=N—、—NH—键组成,其对应的结合能分别为398.8 eV和399.5 eV。图3(b)中存在C=O键和C—O键,这是由于XPS的结果会受到样品表面情况的影响<sup>[17]</sup>,样品制备好之后表面可能被空气中的氧气氧化,或者吸附了空气中一些水分,从而导致样品检测中有氧的存在。S元素的存在是因为在制备过程中添加了硫酸,会有少量的硫元素残留。因此,通过XPS分析可以确定,成功制备了氧化铜/聚苯胺复合材料。

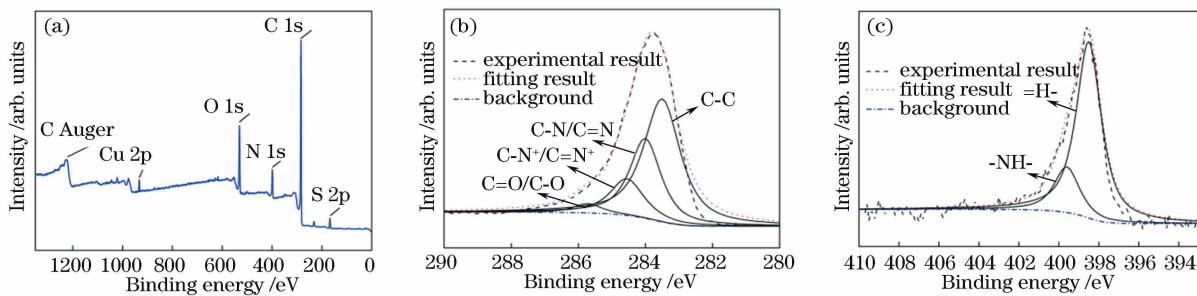


图3 XPS图。(a) CuO/PANI;(b) C 1s;(c) N 1s

Fig. 3 XPS image. (a) CuO/PANI; (b) C 1s; (c) N 1s

### 4.2 扫描电子显微镜分析

图4(a)为镀膜光纤端面的扫描电子显微镜(SEM)图,图4(b)为横截面厚度的SEM图。由图4可知,在光纤的表面镀上了一层膜,该复合膜的厚

度约为2 μm。

### 4.3 气敏实验

将CO通入实验装置中,通过CO浓度标定器确定其浓度,并检测波谷的移动。如图5所示,传感

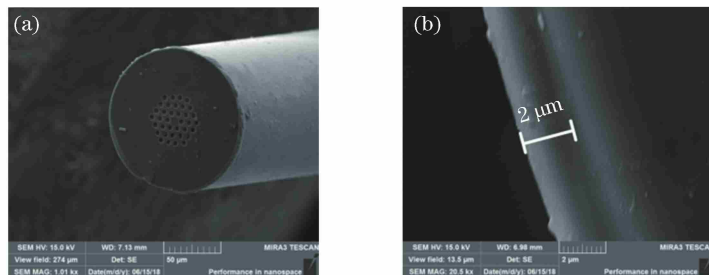


图 4 SEM 图。(a) 镀膜光纤端面;(b) 横截面厚度

Fig. 4 SEM images. (a) Cross section of fiber after coating; (b) thickness of cross section

区域的敏感膜吸附了 CO 气体分子,增大了包层的折射率,使纤芯和包层的有效折射率之差减小,从而导致中心波长发生蓝移,这与基本原理中(4)式的分析一致,表明实验结果与理论分析具有较好的一致性。在 CO 气体体积分数为  $0 \sim 75 \times 10^{-6}$  范围内,传感器的灵敏度为 17 pm,检测线性拟合度  $R^2 = 0.9912$ 。图 6(a)为该传感器的气体选择性图,通过通入相同体积分数的 CO、He、CO<sub>2</sub>、H<sub>2</sub>S 和纯 N<sub>2</sub>,结果表明,该传感器对 CO 具有很高的选择性。图 6(b)为该传感器的恢复-响应曲线,传感响应时间约为 80 s,恢复时间约为 110 s。

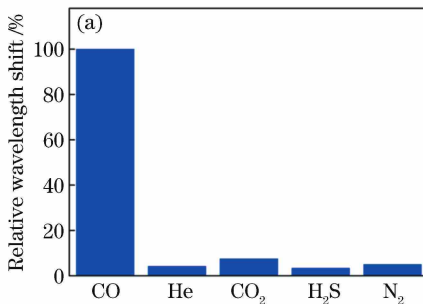


图 6 CO 气体传感器性能。(a) 气体选择性;(b) 响应-恢复曲线

Fig. 6 Performance of carbon monoxide gas sensor. (a) Selectivity for gases; (b) response-recovery curve

## 5 结 论

利用光子晶体光纤与单模光纤熔接形成马赫-曾德尔干涉结构,通过在长度为 5 cm 的 PCF 表面涂覆 CuO/PANI 复合材料,构建了一种全光纤的 CO 气体传感器。该传感器利用敏感膜吸附气体引起包层有效折射率发生改变,通过检测干涉波谷的移动实现对气体浓度的检测。XPS 和 SEM 表征结果表明,成功合成了 CuO/PANI 复合材料;并在光纤表面镀上了一层均匀的敏感膜,膜厚约为 2 μm。对 CO 的通气实验表明,在 CO 气体体积分数为  $0 \sim 75 \times 10^{-6}$  范围内,随着 CO 浓度的增大,干涉波谷呈现蓝移,传感器的灵敏度为 17 pm,响应时间和恢复

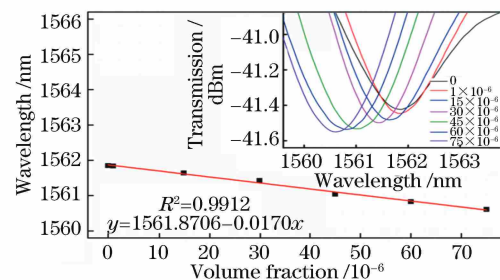


图 5 不同体积分数的 CO 气体的光谱响应和偏移量的线性拟合图

Fig. 5 Spectra response of sensor in various volume fractions of carbon monoxide and fitting line of wavelength shift

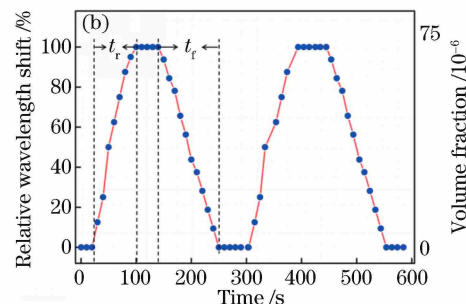


图 5 不同体积分数的 CO 气体的光谱响应和偏移量的线性拟合图

Fig. 5 Spectra response of sensor in various volume fractions of carbon monoxide and fitting line of wavelength shift

时间分别约为 80 s 和 110 s,CO 浓度与偏移之间存在良好的线性关系和选择性。该传感器的制作成本低,结构简单,容易制作,对不同环境的 CO 气体浓度测量具有潜在应用价值。

## 参 考 文 献

- [1] Wanna Y, Srisukhumbornchai N, Tuantranont A, et al. The effect of carbon nanotube dispersion on CO gas sensing characteristics of polyaniline gas sensor [J]. Journal of Nanoscience and Nanotechnology, 2006, 6(12): 3893-3896.
- [2] Russell P S J. Photonic-crystal fibers [J]. Journal of Lightwave Technology, 2006, 24(12): 4729-4749.

- [3] Choi H Y, Park K S, Park S J, *et al.* Miniature fiber-optic high temperature sensor based on a hybrid structured Fabry-Perot interferometer [J]. Optics Letters, 2008, 33(21): 2455-2457.
- [4] Duan D W, Zhu T, Rao Y J, *et al.* A miniature extrinsic Fabry - Perot interferometer strain sensor based on hollow-core photonic crystal fiber[J]. Acta Optica Sinica, 2008, 28(1): 17-20.  
段德稳, 朱涛, 饶云江, 等. 基于空芯光子晶体光纤的微型非本征光纤法布里-珀罗干涉应变传感器[J]. 光学学报, 2008, 28(1): 17-20.
- [5] Wong W C, Chan C C, Chen L H, *et al.* Highly sensitive miniature photonic crystal fiber refractive index sensor based on mode field excitation [J]. Optics Letters, 2011, 36(9): 1731-1733.
- [6] Mathew J, Semenova Y, Farrell G. Effect of coating thickness on the sensitivity of a humidity sensor based on an Agarose coated photonic crystal fiber interferometer[J]. Optics Express, 2013, 21(5): 6313-6320.
- [7] Ji Y S, Fu G W, Fu X H, *et al.* Sensing characteristics of Mach-Zehnder interferometer based on the fused tapered photonic crystal fiber sensor[J]. Acta Optica Sinica, 2013, 33(10): 1006005.  
纪玉申, 付广伟, 付兴虎, 等. 熔融拉锥型光子晶体光纤马赫-曾德尔干涉仪传感特性[J]. 光学学报, 2013, 33(10): 1006005.
- [8] Fu X H, Xie H Y, Zhu H B, *et al.* Experimental research of curvature sensor based on tapered photonic crystal fiber Mach-Zehnder interferometer [J]. Acta Optica Sinica, 2015, 35(5): 0506002.  
付兴虎, 谢海洋, 朱洪彬, 等. 基于锥形光子晶体光纤马赫-曾德尔干涉的曲率传感器实验研究[J]. 光学学报, 2015, 35(5): 0506002.
- [9] Feng X, Feng W L, Tao C Y, *et al.* Hydrogen sulfide gas sensor based on graphene-coated tapered photonic crystal fiber interferometer[J]. Sensors and Actuators B: Chemical, 2017, 247: 540-545.
- [10] Feng X, Yang X Z, Huang G J, *et al.* Hydrogen sulfide gas sensor based on Cu ion-deposited graphene-coated tapered photonic crystal fiber [J]. Acta Photonica Sinica, 2017, 46(9): 0923002.  
冯序, 杨晓占, 黄国家, 等. 基于铜离子沉积石墨烯涂层锥形光子晶体光纤的硫化氢传感器[J]. 光子学报, 2017, 46(9): 0923002.
- [11] Villatoro J, Finazzi V, Minkovich V P, *et al.* Temperature-insensitive photonic crystal fiber interferometer for absolute strain sensing [J]. Applied Physics Letters, 2007, 91(9): 091109.
- [12] Niu L, Zhao C L, Gong H P, *et al.* Curvature sensor based on two cascading abrupt-tapers modal interferometer in single mode fiber [J]. Optics Communications, 2014, 333: 11-15.
- [13] Jha R, Villatoro J, Badenes G, *et al.* Refractometry based on a photonic crystal fiber interferometer[J]. Optics Letters, 2009, 34(5): 617-619.
- [14] Yablon A D, Bise R T. Low-loss high-strength microstructured fiber fusion splices using GRIN fiber lenses [J]. IEEE Photonics Technology Letters, 2005, 17(1): 118-120.
- [15] Xiao L M, Demokan M S, Jin W, *et al.* Fusion splicing photonic crystal fibers and conventional single-mode fibers: microhole collapse effect [J]. Journal of Lightwave Technology, 2007, 25 (11): 3563-3574.
- [16] Barrera D, Villatoro J, Finazzi P, *et al.* Low-loss photonic crystal fiber interferometers for sensor networks [J]. Journal of Lightwave Technology, 2010, 28(24): 3542-3547.
- [17] Golczak S, Kanciurzewska A, Fahlman M, *et al.* Comparative XPS surface study of polyaniline thin films[J]. Solid State Ionics, 2008, 179(39): 2234-2239.